







القابلية المُناخية لتعربة الرباح في بادية المثنى وسبل الحد منها باستعمال دليل الاختلاف النباتي (NDVI) (دراسة في زراعة التين الشوكي)

اسامة فالح عبد الحسن المكتوب* سرحان نعيم الخفاجي كلية التربية للعلوم الانسانية /جامعة المثنى

معلومات المقالة

تاريخ المقالة:

تاريخ الاستلام: 2022/10/10 2022/10/17 تاريخ التعديل: 2022/11/06 قبول النشر: 2024/3/27 متوفر على النت:

الكلمات المفتاحية:

التعربة,NDVI , التعربة الربحية, التنمية الزراعية المستدامة

الملخص

تقع بادية المثنى فلكياً بين دائرتي عرض "9.75'4 °29 - "51.99' 23' 31° شمالاً , وبين خطى طول '48 °43 "51.22 - "20.47 '40 °40 شرقاً, ضمن الحدود الادارية لمحافظة المثنى, وتحدها محافظة البصرة ودولة الكويت من جهة الشرق , ومحافظة النجف من جهة الغرب , بينما يمثل السهل الرسوبي حدودها الشمالية , إذ يمثل صدع أبو جير فاصلاً تكتونيا لها مع السهل الرسوبي, اما من جهة الجنوب فتحدها المملكة العربية. السعودية, وبمساحة (45657.7) كم2, اشتملت الدراسة على ثلاث مباحث, تناول الاول منها موضوع التعربة (Erosion), وتناول المبحث الثاني احد المؤشرات الرقمية (NDVI), في حين تناول المبحث الاخير دور التنمية الزراعية المستدامة(زراعة التين الشوكي) في التقليل من آثار التعربة الربحية, وتوصلت الدراسة إلى أهمية التقنات الحديثة (GIS) و (RS) في مراقبة الجفاف ودور العناصر المناخية في تباين اتساع وانحسار الغطاء النباتي, وبعد هذا المؤشر (دليل الاختلاف النباتي) ضمن الأنظمة المستخدمة للتحذير من ظاهرة اتساع التصحر (NDVI) Normalized Difference Vegetation Index

وتوصل الباحثان من خلال تحليل نتائج القدرة الحتية لمعادلة (Chepil) بأن منطقة الدراسة تمتاز بقدرة حتية عالية جداً, بسبب جفاف التربة وطبيعة المناخ الصحراوي, وبناءً على ذلك اقترحت الدراسة احدى المعالجات للتقليل من التعربة الربحية من خلال زراعة نبات التين الشوكي الذي يمتاز بقدرته على تحمل الظروف المناخية الصحراوبة فضلاً عن دوره في تثبيت التربة من جهة والمردود الاقتصادي له.

©جميع الحقوق محفوظة لدى جامعة المثنى 2024

المقدمة:

تعد التعربة الربحية من العمليات الجيومورفولوجية الميكانيكية الفعل التي تقوم على أثر قوة يطورها عامل جيومورفولوجي من خلال خصائص ذاتية او بيئية من حيث الجفاف والرطوبة, وتترك هذه العمليات الجيومورفولوجية آثاراً واضحة وتغيير لمعالم السطح وتطويره (التصحر, تلوث المياه, تراجع الانتاج, وزبادة كلف مشاريع الخزن والري), والذي بدوره ينعكس على مختلف الانشطة البشربة, لذا فان هذه العملية

الجيومورفولوجية والمشاكل الناجمة عنها أثارت اهتمام العلماء الجيومورفولوجين فضلاً عن علماء التربة والزراعة, وتعد هذه الدراسة محاولة لوضع بعض الحلول لهدر ثروة مهمة تكونت خلال ملايين السنين(التربة).

مشكلة البحث: تتلخص مشكلة البحث بنقطتين رئيسيتين:

1-ما القدرة الحتية الربحية في بادية المثنى؟

2 -ما هي العوامل المسببة لها؟

العدد الأول

فرضية الدراسة: تتمثل فرضية الدراسة بالشكل الاتي:

1-ان لحجم القدرة الحتية الربحية دور في تعربة وجرف الترب في بادية المثنى.

2-تشترك عوامل وعمليات متشابكة في التعرية الريحية في بادية المثنى.

3-يمكن التقليل من آثار التعرية الريحية عن طريق زيادة تماسك التربة من خلال زراعة بعض انواع النباتات الصحراوية (التين الشوكي).

هدف الدراسة: تهدف الدراسة الى:

1-تحديد دقيق لقياس حجم القدرة الحتية للرياح.

2-تحليل العوامل والعمليات المسببة لها من خلال اسلوب كمي .

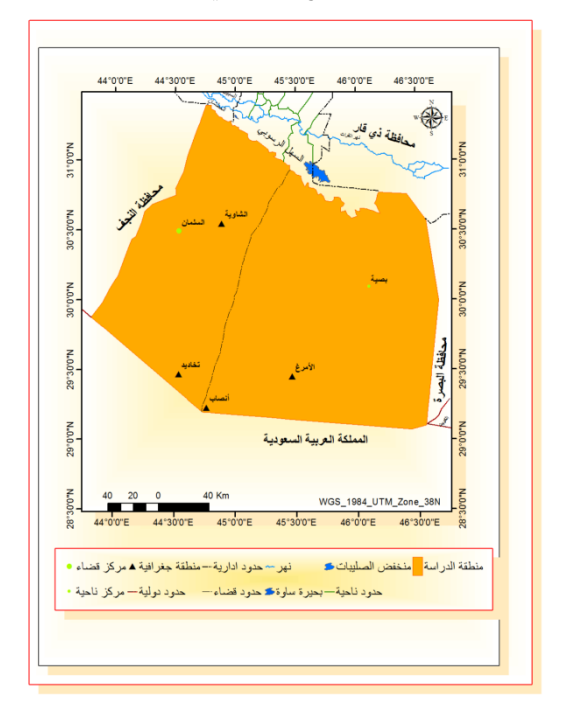
3-تسليط الضوء على أهمية التقنيات الحديثة (GIS) و (RS) في مراقبة الجفاف ضمن أنظمة الانذار لظاهرة اتساع التصحر (دليل الاختلاف النباتي) (NDVI)

4-وضع حل لتقليل حجم القدرة الحتية للرياح عن طريق زراعة نبات التين الشوكي بهدف تثبيت التربة فضلاً عن اهميته الاقتصادية.

حدود البحث:

اما حدود البحث الزمانية فقد اعتمد الباحثان في دراسة حالة المُناخ على بيانات مناخية للمدة من(1991-2021) لمحطة النجف التي تقع عند الاحداثيات (19 40° شرقاً – 31 57° شمالاً) وبارتفاع 32 م عن مستوى سطح البحر، ومحطة السماوة الواقعة عند الاحداثيات (16 45° شرقاً – 16 31° شمالاً) وبارتفاع 11.4م عن مستوى سطح البحر، وبيانات محطة رفحاء تقع عند الاحداثيات (18 45° شرقاً – 61 20° شمالاً), وبارتفاع 19.61م, واخيراً محطة البصرة التي تقع عند الاحداثيات (18 50° شمالاً) وبارتفاع 2.61م عن مستوى سطح البحر, يلاحظ الخريطة (2)(1).

الخريطة (1) الموقع الجغرافي لبادية المثنى



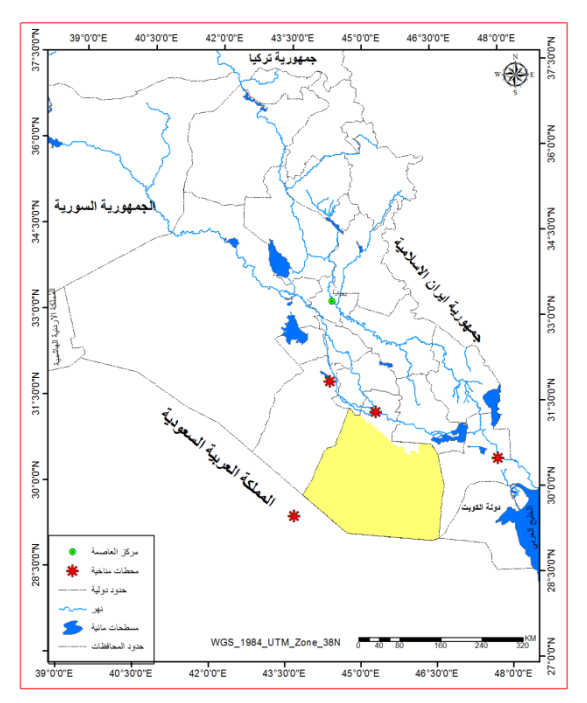
المصادر:

1-وزارة الموارد المائية, الهيئة العامة للمساحة , قسم إنتاج الخرائط, خريطة العراق الادارية , بمقياس 1:1000000, بغداد , 2016.

2- وزارة الصناعة والمعادن, الهيئة العامة للمسح الجيولوجي والتعدين
 , خريطة بنيوية العراق, بمقياس 1000001, بغداد, 2013.

3- القمر الامربكي (Landsat 8 from USGS).

الخريطة(2) موقع الجغرافي للمحطات المناخية المعتمدة (بادية المثنى)



المصادر:

1-وزارة الموارد المائية, الهيئة العامة للمساحة, قسم إنتاج الخرائط,
 خريطة العراق الادارية, بمقياس 1:000000, بغداد, 2016.
 2-الباحثان بالاعتماد على الموقع الفلكي لمحطات منطقة الدراسة.

المبحث الاول: التعربة:Erosion

للتعربة الربحية دور سلبي في تغيير صفات التربة بسبب فقدان الحبيبات الصغيرة الحجم والخفيفة الوزن والمواد العضوية والغذائية, مما يترك آثار يصعب معالجتها مستقبلاً.

والتعرية هي إزالة مفصولات التربة السطحية الغنية بالعناصر الغذائية من موقعها الأصلي إلى أماكن أخرى بسبب (الرياح , المياه, الثلاجات) ، وتتباين كمية المادة المفقودة تبعاً لعوامل النقل وشدتها⁽²⁾ , ولنسبة الغطاء النباتي ونسجة وتركيب ومسامية ونفاذية التربة وانحدار السطح دور في زيادة او الحد منها فضلاً عن العامل البشري⁽³⁾, ومن هنا جاءت هذه الدراسة لغرض تحقيق الزيادة المساحية في الغطاء النباتي عن طريق زراعة التين الشوكي وبالتالي المحافظة على التربة وتثبيتها وتغيير

بعض صفاتها من اجل المحافظة على هذه الثروة وتنميتها تنمية مستدامة , فضلاً عن المردودات الاقتصادية الجيدة لهذا المحصول.

-التعرية الريحية:

للرباح دوراً جيومورفولوجياً مهماً في تغيير معالم السطح وخصوصاً في المناطق الجافة وشبه الجافة, ويعتمد عملها بالأساس على شدة المنحدر الضغطي وقلة العوارض الطبيعية والبشرية وحجم الحبيبات ونسبة الرطوبة, وتمتاز بادية المثنى بمناخ جاف وانحسار الغطاء النباتي وانخفاض الرطوبة وارتفاع وتفاوت درجات الحرارة يومياً وشهرياً وبالتالي نشاط التجوية الميكانيكية وتهيئة التربة للتذربة والبري.

وقد اعتمد الباحثان معادلة (Chepil) لقياس القدرة الحتية للرباح كما يأتي:

$$C = 386 \times \left(\frac{(V)^3}{(PE)^2} \right)$$

حيث ان:

C = القابلية المُناخية لتعرية الريح

V = معدل سرعة الربح (الربح ميل / ساعة)

PE = التساقط الفعال لثورنتويت, ويستخرج من خلال المعادلة

الاتبة ⁽⁴⁾:

9/10

$$PE = 115 \left(\frac{p}{T - 10} \right)$$

حيث ان: P = كمية التساقط / انج T= معدل الحرارة / (ف)

وقد قسم (Chepil) ناتج المعادلة إلى خمس درجات , يلاحظ الجدول (1) وكما يأتي:

الجدول (1) درجات التعرية الريحية حسب معامل(Chepil)

شدة التعرية	الدرجات
تعرية قليلة جدا	17-0
تعرية قليلة	35-18
تعرية متوسطة	71-36
تعربة عالية	150-72
تعرية شديدة جداً	150 فأكثر

المصدر: صباح محمود الراوي , مظاهر الجفاف في بادية العراق الشمالية , من بحوث المؤتمر الجغرافي الأول للتصحر في محافظة الانبار, 1993, ص8.

تبين من خلال نتائج المعادلات الرياضية إن القدرة الحتية للرياح في محطات(النجف – السماوة – رفحاء-البصرة) , بلغت (7692.32 , 233293.30 , 9864.30) درجة على التوالي , ويمكن ملاحظة إن محطة رفحاء تأتي بالمرتبة الاولى تلها محطة السماوة ثم محطة البصرة ثم محطة النجف يلاحظ الجدول (2) .

الجدول (2) القابلية المُناخية لتعربة الربح لمحطات (النجف والسماوة ورفحاء والبصرة)

درجة التعرية	القابلية المُناخية لتعرية الربح	معدل التساقط الفعال (PE) ^{ملم}	كمية التساقط الحرارة السنوي $(b^{-2})^2$ (b^{-2}) $(b^{-2})^2$		معدل سرعة الربح (ميل/ساعة)V(*)	المحطات
تعرية عالية جداً	2429.83	7.13	76.28	3.02	6.84	النجف
تعربة عالية جداً	9864.30	8.10	77.05	3.52	11.88	السماوة
تعربة عالية جداً	233293.30	5.48	77.09	2.28	26.28	رفحاء
تعرية عالية جداً	7692.32	12.05	70.52	4.94	14.25	البصرة

المصدر: من عمل الباحثان بالاعتماد على البيانات المُناخية

المبحث الثاني: مر اقبة الجفاف باستعمال (NDVI):

قدم Tucker (1979) هذا الدليل كمؤشر نباتي يعبر عن النمو النباتي , وقد استخدم NDVI بشكل واسع على المستوى العالمي والاقليمي لتحديد دور التأثيرات الطقسية على حالات نمو

الغلال والمحاصيل الزراعية, والسبب في ذلك إن المناخ بعناصره هو الاكثر تأثيراً في الاختلاف النباتي (5), ويعد هذا المؤشر دليلاً فعالاً في مراقبة الجفاف ضمن أنظمة الانذار لظاهرة اتساع التصحر (6).

^(*) معدل سرعة الربح (ميل /ساعة): يستخرج من خلال معدل سرعة الرباح (م/ثا) لمحطات منطقة الدراسة وذلك عن طريق ضرب الرقم المراد تحويله × (60 ×60) ويقسم الناتج على 1000 ليكون الناتج كم /ساعة , ويقسم الاخير على (1.56)ميل او من خلال التحويل المباشر بين الوحدات.

^(**) وبستخرج وفق القاعدة الانج =25.39ملم.

^(***) درجة الحرارة (ف) ويمكن تحويل الدرجة المئوية إلى درجة فهرنايتية وفق المعادلة الاتية :5/9 (درجة الحرارة م5) +32.

تبرز اهمية هذا الدليل من خلال امكانية مقارنة مستوى التغير في كثافة الغطاء النباتي بين سنوات سابقة مع سنوات اخرى وحسب طبيعة الدراسة للكشف عن مستوى التغير, ويمكن حساب هذا الدليل من خلال الفرق بين الطول الموجي -88.0 0.85 للحزمة تحت الحمراء (NIR) والحزمة الحمراء (Red) ذات الطول الموجي 40.6-0.67 مقسومة على حاصل جمعهما, ويتراوح قيم الناتج بين 1,-1, فإذا كانت النتيجة باتجاه الموجب كان النبات أكثر كثافة, اما اتجاه إلى علامة السالب دليل على المعالم غير الخضراء (7), يتم استخراج هذا الدليل عن طريق تحميل الاختلاف النباتي بينهما, ثم تجري معالجة هذه الحزم الطيفية الاختلاف النباتي بينهما, ثم تجري معالجة هذه الحزم الطيفية ضمن بيئة برنامج (Arc GIS10.2.2), من خلال استخدام أداة الاتوات (Map Algebra) من فرعية (Arc Tool Box) ضمن صندوق المعادلة الاتية الله الله المعلى المعلى

 $NDVI = \frac{Band\ NIR-Band\ Red}{Band\ NIR+Band\ Red}$ حيث ان

NDVI= دليل الاختلاف الخضري

Band NIR= الحزمة تحت الحمراء القريبة Band5 بطول موجي Band5 ميكروميتر.

Band Red= الحزمة الحمراء المرئية Band4 بطول موجي -0.64 ميكروميتر.

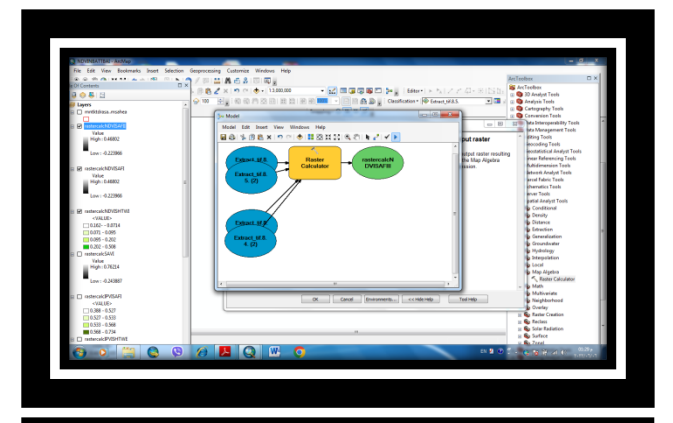
ظهرت نتائج المعادلة أعلاه بعد تطبيق المعادلة على الفصلين الصيفي والشتوي من سنة (2021) وللشهرين(8-3) بعد تصنيفها إلى اربع مستويات وتمثيلها بطريقة التدرج اللوني في بادية المثنى للموسم الصيفي , وبحسب الفئات الآتية, يلاحظ الخريطة(3).

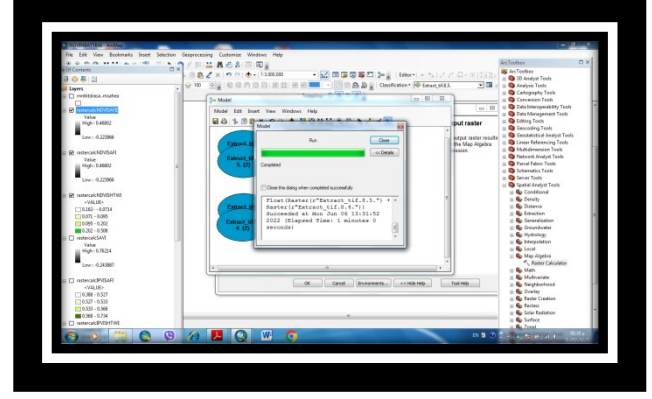
1-فئة انعدام الغطاء النباتي0.055- -0.223: بلغت مساحتها (4704.36) كم2 ونسبة (10.3)%, وقد مثلت باللون الابيض وتشمل المناطق الجرداء او المناطق الصخرية .

2-فئة الغطاء النباتي القليل 0.005-0.05: تجاور الفئة السابقة من حيث التوزيع المكاني وبلغت مساحتها (19670.23) كم2 ونسبة (43.08%), وتشمل قسم كبير من منطقة الدراسة. 3-فئة الغطاء النباتي المتوسط 0.136-0.060: بلغت مساحتها (21270.45) كم2 ونسبة (46.59%), وتشمل معظم منطقة الدراسة.

4-فئة الغطاء النباتي الكثيف8-0.136. بلغت مساحتها (12.66) كم2 ونسبة (0.03%) ,وتشمل المناطق الزراعية شمال بادية المثنى, فضلاً عن مناطق متفرقة يلاحظ الجدول (3).

الشكل (1)تطبيق دليل الاختلاف النباتي



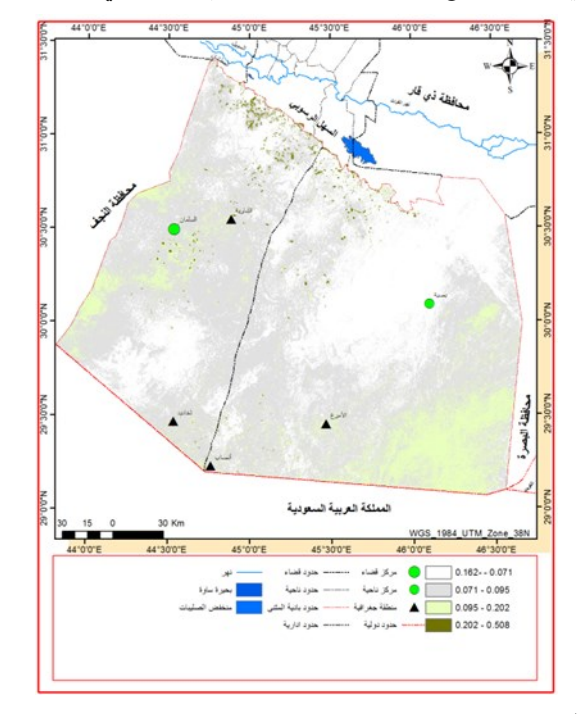


المصدر: باعتماد برنامج .Arc GIS10.2.2

35.52	16218.07	0.162	10.3	4704.36	0.223- 0.055
51.91	23704.86	0.071	43.08	19670.23	0.055- 0.066
12	5476.72	0.095	46.59	21270.45	0.066- 0.136
0.57	258.05	0.202	0.03	12.66	0.136- 0.468
100	45657.7		100	45657.7	المجمو ع

المصدر: باعتماد (الخريطة 4-3) وبرنامج Arc GIS

الخريطة (4) نتائج مؤشر (NDVI) للموسم الشتوي في بادية المثنى

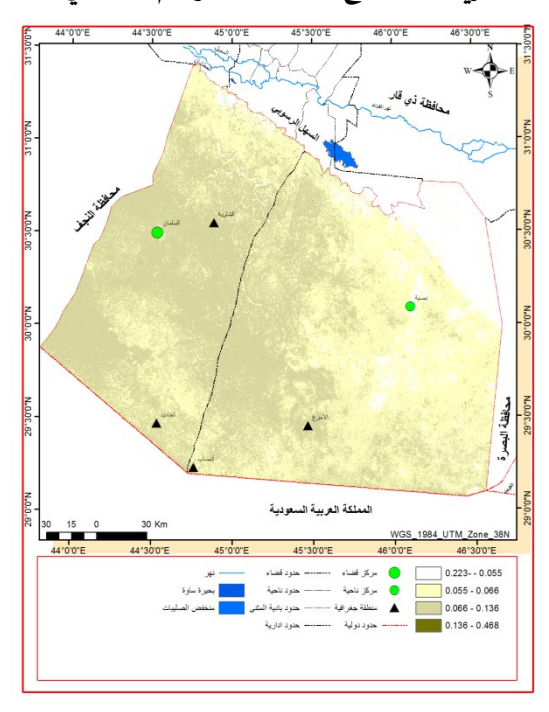


المصادر:

1-القمر الامربكي LandSat8 , مرنية OLI, دقة تميزية 15 م , الحزم 4-5. ,2022.

2- برنامج .Arc GIS10.2.2

خربطة (3) نتائج (NDVI) للموسم الصيفي



1-القمر الامريكي&LandSat , مرئية OLI , دقة تميزية 15 م , الحزم 4-5. ,2022,

2- برنامج .Arc GIS10.2.2

اما فئات الموسم الشتوي وبعد تصنيفها إلى اربع مستويات وتمثيلها بطريقة التدرج اللوني, وبحسب الفئات الآتية, يلاحظ خربطة (4) والجدول(4), وكما يأتى:

1-فئة انعدام الغطاء النباتي (0.071-0.162): تأتي بالمرتبة الثانية من حيث المساحة ,إذ بلغت مساحتها (16218.07) كم2 ونسبة (35.52%) , وقد مثلت باللون الابيض وتشمل المناطق الجرداء او المناطق الصخربة.

2-فئة الغطاء النباتي القليل (0.071-0.095): تأتي بالمرتبة الاولى من حيث المساحة إذ بلغت مساحتها (23704.86) كم2 ونسبة (51.91%).

الجدول (3) فئات ومساحات نتائج مؤشر (NDVI) للموسمين الصيفى والشتوى لبادية المثنى لعام2021

(الموسم الشتوي		(الموسم الصيفي	
النسبة	المساحةكم	الفئات	النسبة	المساحةكم	الفئات
%	2		%	2	

3-فئة الغطاء النباتي المتوسط (0.005-0.202): بلغت مساحتها (5476.72) كم2 ونسبة (12)% , وتأتى بالمرتبة الثالثة من حيث المساحة.

4-فئة الغطاء النباتي الكثيف(0.202-0.508): بلغت مساحتها (258.05)كم2 ونسبة (0.57%), وتشمل المناطق التي تم استثمارها زراعياً في القسم الشمالي من بادية المثني فضلاً عن مناطق متفرقة.

المبحث الثالث: دور التنمية الزراعية المستدامة (زراعة التين الشوكي) في التقليل من آثار التعربة الربحية:

بحسب نتائج معامل(Chepil) لدرجات التعربة الربحية في منطقة الدراسة فان القابلية المُناخية لتعربة الرباح للمحطات المختارة (النجف والسماوة ورفحاء والبصرة) تقع ضمن نطاق التعربة الشديدة او العالية جداً , والسبب في ارتفاع القابلية المناخية لتعربة الرباح هي (انخفاض كمية التساقط وارتفاع معدل الحرارة وزبادة معدل سرع الربح) , الذي انعكس سلباً على الكمية الفعلية للتساقط حسب ثورنتوبت, وبالتالي تفاقم المشاكل التي تعانى منها ترب منطقة الدراسة ومنها هشاشة المفتتات الترب, وبمرور الزمن تتحول إلى هذه الاجزاء إلى مفتتات يسهل حملها, وبالتالي ارتفاع القابلية المُناخية لتعربة الربح (الحت والتذربة).

ومن خلال نتائج مؤشر (NDVI) تبين ان منطقة الدراسة تتميز بانخفاض الغطاء النباتي (المتمثل بالمزارع المقامة والنبات الطبيعي) صيفاً , إذ بلغت مساحة فئة انعدام الغطاء النباتي (4704.36) كم2 ونسبة (10.3%) المتمثلة بالمناطق الجرداء او المناطق الصخرية , في حين بلغت فئة الغطاء النباتي القليل مساحة شاسعة (19670.23) كم2 ونسبة (43.08%) .

إما بالنسبة للموسم الشتوي فأن مساحة فئة انعدام الغطاء النباتي التي تشمل المناطق الجرداء او المناطق الصخربة (16218.07) كم2 ونسبة (35.52%) , في حين بلغت مساحة فئة الغطاء النباتي القليل (23704.86) كم2 ونسبة (51.91%)

ومن خلال نتائج معامل(Chepil) ونتائج مؤشر (NDVI) يتبين ان ندرة الغطاء النباتي ساهم في التعجيل في فقدان التربة ,إذ أن الشعيرات الصغيرة الموجودة في جذور النباتات تساهم بشكل فعال في ثبيت وتماسك التربة والحد من تأكلها, فضلاً عن إن تفاعل شعيرات جذور هذه النباتات مع التربة الملامسة تقلل تدهورها وتعمل على تماسكها، عن طريق ربط جزيئاتها.

وبرى الباحثان إن معالجة هذه المشكلة تبدأ من زبادة معدلات الرطوبة للتربة عن طربق زبادة المساحات الخضراء ولا سيما في فصل الصيف الذي يتميز بانقطاع التساقط كلياً, وبالتالي تثبيت التربة والتقليل من عمليات الحت والتذربة.

وقد أصبح موضوع التنمية المستدامة من اهم المرتكزات التي يمكن من خلالها المحافظة على التربة من الفقدان, من خلال احداث تنمية في استخدام الموارد والطاقات المتاحة بشكل متوازن, وتعد الترب المجال الحيوي للنباتات فالتربة السليمة مهمة لضمان استمرار نمو هذه النباتات, وهناك علاقة تبادل للمنفعة بين التربة والنبات, فالتربة تزود النباتات بالعناصر الغذائية وكخزان يحتفظ بالماء، وفي المقابل يحول الغطاء النباتي دون تدهور التربة والتصحر والحد من التعربة الربحية فضلاً عن تدوير المغذيات.

لذا يرى الباحثان ان على الجهات المعنية حث المستثمرين في المجال الزراعي على ان يقوموا ببعض التغيرات في الاستثمار الزراعي تتناسب مع التغيرات المناخية التي تهدد العديد من المناطق وبضمنها بادية المثنى, من خلال التوجه نحو زراعة المحاصيل التي يمكن عن طريقها تحقيق ارباح أكثر وبتكاليف أقل وبتقنين استعمال الموارد المائية, فضلاً عن المحافظة على التربة والتقليل من فقدانها وزبادة رطوبتها وتعزبز توفر المادة العضوية فيها , لذا يقترح الباحثان التوجه نحو زراعة التين الشوكي, إذ يمتاز هذا المحصول بملائمته لبيئة بادية المثني فضلاً عن القيمة المادية له.

اولاً: التين الشوكي:

تصنف انواع التين الشوكي إلى العديد من الاصناف منها, يلاحظ صورة (1):

1-صنف الشامية: يتميز هذا الصنف بلون لحم اصفر او ابيض أو ابيض مصفر, متوسطة الحجم وتصلح للاستهلاك الطازج.

2- صنف الفراولة: يتميز بلون لحم الثمرة أحمر الثمار ذات حلاوة عالية وحجم الثمرة متوسط وتصلح للاستهلاك الطازج (9).

ثانياً: متطلبات زراعة التين الشوكي:

تتناسب البيئة الملائمة لزراعة التين الشوكي مع الاراضي الصحراوية والاراضي الرملية , ويتطلب نموه تربة خفيفة جيدة التهوية والصرف , لا تزيد نسبة الطمى عن 20%, ذات مستوى مائي مناسب , ولا تزيد نسبة الصوديوم عن 70 مليمتر , ويفضل احتوائها على نسبة من الكالسيوم للحصول على إثمار جيد, ويرتبط التوزيع المكاني لأشجار التين بشتاء معتدل ، وصيف حار جاف ، حتى تنمو الأشجار وتثمر بنجاح , كما تتحمل الأشجار الجفاف صيفاً ، لذلك تنجح زراعتها في المناطق تحت الاستوائية ، أو الأراضي الصحراوية المستصلحة ,إذ تتطلب زراعة التين الشوكي شتاء دافئ متوسط درجة الحرارة فيه من 18-15°م الشوكي عن 95-75 مليمتر للدونم الواحد سنوياً , ومتوسط درجة حرارة واثناء نمو الثمار من 55-25°م 16-18°م اثناء نضجه.

صورة (1) التين الشوكي



المصدر: https://www.webteb.com/multimedia/slideshows

يتم اعداد الارض للزراعة بحرث الارض وتنظيفها لعمق 80-60 سم , وذلك لتحسين الصرف مع تسويتها , ويتم عمل شبكة ري بالتنقيط لتقليل استهلاك المياه , ويمكن استخدام السماد الحيواني عن طريق حفر التربة بعمق $70\times70\times70$ سم , ويكون موعد زراعة التين الشوكي في شهر آذار أو أيلول ويفضل التوقيت الاول لتوفر رطوبة كافية في التربة تسمح بنمو الجذور.

تتنوع استخدامات هذا المحصول ويستهلك عادة بالصورة الطازجة, او تحول إلى عصير وذلك بعد نزع القشرة من الثمرة, ويستخدم القشور كعلف للماشية (طازج أو كعلف مخزن), كما ويستخدم كسياج لصد الرياح وتثبيت التربة (10).

ثالثاً: القيمة الاقتصادية للتين الشوكي:

1-الثمرة: ثمرة التين الشوكي ذات قيمة غذائية إذ يتغذى عليها الانسان , ويتم تحويل قشورها إلى اعلاف ذات قيمة غذائية عالية للحيوانات , وهناك دول تزرع هذا المحصول من اجل انتاج الاعلاف فقط .

2-البذور: يتم تحويلها إلى زيوت عالية الجودة لها استخدامات متعددة (الاغراض الطبية, علاج البشرة, علاج للشعر) وتباع بأسعار باهظة إذ يصل اللتر الواحد من هذا الزيت إلى 1000\$, ويستخرج لتر الزيت من حوالي طن من هذا المحصول.

8-السيقان: تستخدم في بعض الدول اللاتينية مثل المكسيك والبرازيل كخضروات طازجة البلدان بطهها والتغذي علها, وفي دول اخرى يتم تربية حشرة الكوشينيال على سيقانها لإنتاج صبغة الكارمن القرمزية, وهي صبغة باهظة الثمن وتدخل في العديد من الصناعات (الغذائية, المنسوجات, مستحضرات التجميل, الادوية) (11).

من خلال نتائج التحليلات المختبرية في الجدول(4) نجد ان الترب الرملية هي الترب السائدة للتحليلات المختبرية الفيزيائية الخاصة بنسجة التربة, ولا تزيد نسبة الطمى في العينات المختارة عن 20% الا في العينة (10-14-19-21), كما وان التحليلات المختبرية الكيميائية تشير إلى إن عنصر الصوديوم لا يزيد عن

70 مليمتر, كما وتشير إلى توفر عنصر الكالسيوم الذي تساهم في الحصول على ثمار جيدة.

وعند ملاحظة الجدول (5) نجد إن المحطات المناخية المختارة لمنطقة الدراسة تشير إلى ان متوسط الحرارة فيه(13.6-19.35)

°م, لذا فإن متوسطات الحرارة ضمن الحدود المناسبة لنمو ونضج ثماره, وبالرغم من الاحتياج المائي المحدود لهذا المحصول(75-95)مليمتر للدونم الواحد سنوياً, فإن الباحثان يفضلان استخدام الوسائل الحديثة في الري (الري بالتنقيط).

الجدول (4) نتائج تحليل الخصائص الفيزيائية والكيميائية للعينات المختارة في بادية محافظة المثني

Ca	Mg	Na	K	CL	TDS	Om	Ec	рН		طين	غرين	رمل					
	1	غم/كغم	·		ملغرام/كغم	%	ملیموز/ سم		نسجة		%		X	Y	العينة		
2	1.9	0.28	1.25	0.65	2.9	0.8	0.7	7.2	طينية رملية	10	10 9 81		10 9 81		46° 29' 42.674" E	30° 1' 12.805" N	S1
6.7	0.54	2.5	1.4	3.5	0.27	1.91	8.1	8.5	مزيجية رملية	13	7	80	45° 29' 27.087" E	30° 46' 5.146" N	S2		
1.9	1.74	1.55	1.62	1.9	0.27	0.74	2.34	8	مزيجية رملية	13.5	6.5	80	46° 14' 13.010" E	29° 19' 40.566" N	53		
2	1.9	0.26	1.28	0.8	0.25	0.77	0.7	7.3	رملية مزيجية	10	4	86	45° 45' 47.221" E	29° 24' 11.512" N	S4		
0.3	2.8	1.88	1.5	0.7	2.3	1.2	0.7	6.9	مزيجية رملية	13	14	73	45° 5' 38.141" E	29° 24' 34.746" N	S5		
0.9	0.9	2	0.95	1.4	2.32	1	2	8.1	مزيجية رملية	13	9	79	45° 50' 59.130" E	29° 46′ 54.683″ N	S6		
3.3	0.25	1.9	0.99	0.99	2.2	0.8	2.56	7.2	مزيجية رملية	19	5	76	46° 3' 49.432" E	30° 12' 44.843" N	S 7		
1.8	0.9	5.3	0.88	0.77	3.1	0.81	6.33	7.7	رملية مزيجية	9.5	19.4	71.6	44° 35' 26.317" E	30° 26' 21.752" N	S 8		
5.7	0.96	2.4	2.4	0.93	2.3	0.33	6.22	7.8	رملية	15.9	22.6	61.5	44° 15' 21.181" E	30° 15' 14.600" N	S 9		
3.25	0.3	2.2	1.3	0.76	1.9	0.95	3.9	8	رملية مزيجية	24	12.7	63.3	44° 15' 1.282" E	29° 53' 36.567" N	S10		
4.36	0.22	6.7	1.9	0.82	2.1	0.94	4.3	7.5	رملية مزيجية	13	5.3	81.7	45° 12' 57.712" E	31° 0' 33.321" N	S11		
4.5	3.3	5.6	2.5	1.45	4.2	0.4	6.2	7.6	رملية مزيجية	8	20.6	71.4	44° 37' 29.895" E	30° 49' 38.817" N	S12		
2.3	3	1.6	1.8	0.6	0.2	1.3	0.7	7.3	مزيجية رملية	11.1	7.3	81.6	45° 51'	30° 31'	S13		

القابلية المُناخية لتعرية الرياح في بادية المثنى وسبل الحد...

													32.249" E	49.087" N	
0.18	0.2	4.2	2.56	0.71	4.1	0.91	8.42	4.5	رملية مزيجية	20.5	25.2	54.3	45° 3' 32.938" E	30° 33' 25.184" N	S14
1.9	0.7	5.3	0.76	0.22	1.9	0.88	16.1	7.6	رملية	13.2	6.4	80.4	44° 52' 39.392" E	30° 7' 20.644" N	S15
2.4	2.8	1.3	1.81	0.34	0.27	1.6	0.61	7.4	رملية مزيجية	12.5	7.5	80	46° 30' 49.148" E	29° 42' 6.885" N	S16
2.4	2.8	1.5	1.77	0.4	1.8	1.3	0.65	7.3	مزيجية رملية	6.1	3.2	90.7	46° 7' 28.109" E	30° 35' 46.751" N	S17
0.18	0.21	2.5	0.91	1.16	1.23	2.2	5.2	7.7	مزيجية رملية	13	14.5	82.5	46° 23' 10.300" E	30° 22' 14.113" N	S18
3.2	2.55	1.66	1.1	0.81	0.35	1.9	0.6	6.9	مزیجیة رملیة طینیة	25.1	12.4	62.5	44° 47' 48.814" E	31° 17' 31.834" N	S19
0.8	0.9	1.99	0.91	0.8	2.6	0.99	2.4	8.3	مزيجية رملية	12	15.5	72.5	44° 42' 18.693" E	29° 54' 43.221" N	S20
0.2	2.76	0.88	1.7	0.6	2.9	1	0.65	8	مزيجية طينية رملية	21	26.5	52.5	45° 20' 12.579" E	30° 16' 38.010" N	S21
1.2	1.7	1.6	1.5	1.3	2.7	0.77	2.52	8	مزیجیة رملیة طینیة	25	12.5	62.5	45° 10' 44.390" E	29° 42' 24.698" N	S22

المصدر: بالاعتماد على تحليلات عينات التربة, مختبر قسم التربة, كلية الزراعة, جامعة المثنى,2022.

الجدول (5) درجات الحرارة العظمى والصغرى والمدى لمحطات منطقة الدراسة (بادية المثنى) للمدة (1991-2021)

	برة	البص			۶	رفحا			وة	السما				المحطة		
المدى	المعدل	الصغرى	العظمى	الشهر												
10.5	13.05	7.8	18.3	20.2	12.6	2.5	22.7	11.1	11.55	6	17.1	11	11.1	5.6	16.6	ك 2
11.5	15.35	9.6	21.1	21	15.2	4.7	25.7	12.5	14.15	7.9	20.4	12	13.6	7.6	19.6	شباط
12.2	20.1	14	26.2	23.6	20.1	8.3	31.9	13.4	18.9	12.2	25.6	13	18.3	11.8	24.8	آذار
13.1	26.35	19.8	32.9	21.9	24.95	14	35.9	14.2	24.9	17.8	32	13.5	24.45	17.7	31.2	نیسان
14	32.7	25.7	39.7	22.7	29.35	18	40.7	15	31.2	23.7	38.7	13.7	30.15	23.3	37	مايس
16.2	36.1	28	44.2	18.8	34.3	24.9	43.7	16.2	34.7	26.6	42.8	15.3	34.65	27	42.3	حزيران
16.5	38.05	29.8	46.3	18.3	35.85	26.7	45	16.4	36.5	28.3	44.7	15.4	37	29.3	44.7	تموز
17.4	37.6	28.9	46.3	18.6	36.2	26.9	45.5	17	36.2	27.7	44.7	15.6	36.5	28.7	44.3	آب
17.6	34	25.2	42.8	20	32.8	22.8	42.8	17.6	32.6	23.8	41.4	15.7	32.75	24.9	40.6	ايلول

القابلية المُناخية لتعربة الرباح في بادية المثنى وسبل الحد...

15.7	28.55	20.7	36.4	20.1	27.65	17.6	37.7	15.6	27.1	19.3	34.9	14.1	26.55	19.5	33.6	ت1
12.7	20.35	14	26.7	21.6	18.3	7.5	29.1	13.1	19.15	12.6	25.7	12.2	18.3	12.2	24.4	ت 2
11	14.7	9.2	20.2	19.8	13.4	3.5	23.3	11.7	13.45	7.6	19.3	11.1	12.75	7.2	18.3	ك 1
14.03	26.4	19.4	33.4	20.5	25.05	14.8	35.3	14.4	25.03	17.7	32.2	13.5	24.6	17.9	31.45	المعدل السنوي

المصدر: 1-جمهورية العراق ، وزارة النقل والمواصلات، الهيأة العامة للأنواء الجوية والرصد الزلزالي ، قسم المناخ ، بغداد ، بيانات غير منشورة 2021. 2- الهيأة العامة للأرصاد وحماية البيئة , البيانات المفتوحة , مكتبة البيانات المفتوحة , إدارة تلبية الطلبات المعلوماتية , 2021.

النتائج والمقترحات:

1-لموقع بادية المثنى أهمية كبيرة فضلاً عن احتواءها على موارد طبيعية مهمة.

2-أهمية التقنات الحديثة (GIS) و (RS) في الدراسات الجغرافية الحديثة .

3-تبين من خلال تحليل نتائج القدرة الحتية لمعادلة (Chepil) بان منطقة الدراسة تمتاز بقدرة حتية عالية جداً, بسبب جفاف التربة وطبيعة المناخ الصحراوي, إذ بلغت في محطات النجف والسماوة ورفحاء والبصرة (2429.83 - 9864.30 - 9864.30), على التوالى.

4-أن للبرامج التحليلية الاستشعار عن بعد (المرئيات الفضائية), القدرة على تحديد التوزيع المكاني للغطاء النباتي, باقل كلفة وادق صورة.

5-يعد دليل الاختلاف النباتي (NDVI) من أهم الطرق الرقمية وادقها وأقلها كلفة والتي تستخدم في الكشف عن اتساع وانحسار الغطاء النباتي, وقد تم اعتماده ضمن الأنظمة المستخدمة للتحذير من ظاهرة اتساع التصحر وفقدان التربة. 6-اظهرت نتائج الخلط اللوني (4-5) دقتها في الكشف والمقارنة بين كثافة الغطاء النباتي للموسمين الصيفي والشتوي (2021).

1-اعتماد التقانات الحديثة في الدراسات الجيومورفولوجية , ومن اهمها نظم المعلومات الجغرافية والاستشعار عن بعد ,

وابراز دورها المهم في رسم خارطة طريق لتنمية بادية المثنى تنمية

مستدامة.

2-ضرورة وضع خطة لاستقطاب الشركات المحلية والاجنبية للاستثمار الزراعي في بادية المثنى بالتعاون مع الحكومة المحلية.

3-التوجه بخطة عمل لتخليص بادية المثنى من بعض المخلفات الحربية التي تعيق عمليات التنمية الزراعية المستدامة, بالتعاون مع الفرق العسكرية الخاصة والدفاع المدني.

4-تطوير الواقع الزراعي عن طريق التوسع في مجال حفر الآبار, ودعم الفلاحين عن طريق التوسع في توفير السلف من اجل النهوض بالواقع الزراعي للمحافظة.

5-زيادة الانتاج وتحسين النوعية والاستفادة من الايدي العاملة
 المحلية لغرض الاستفادة من الفرص الزراعية المتاحة.

6-اقامة ندوات توعوية للفلاحين للحد من الهدر بالمياه والابتعاد عن الزراعة المحاصيل التقليدية التي تتطلب موارد مائية كبيرة قد تؤدي الى الضغط على الموارد المائية الجوفية لمنطقة الدراسة , مما ينعكس سلباً على انخفاض منسوبها كما حصل في عام (2021) عندما انخفض منسوب بحيرة ساوة بسبب الاستعمال الجائر للمياه الجوفية.

7-تقترح الدراسة احدى المعالجات للتقليل من التعرية الريحية من خلال زراعة نبات التين الشوكي الذي يمتاز بقدرته على تحمل الظروف المناخية الصحراوية فضلاً عن دوره في تثبيت التربة من جهة والمردود الاقتصادي له.

8- Meera Gandhi alt.(2015) NDVI Vegetation Change Detection using Remote Sensing and GIS-A.

9-سمر محمود عبد العظيم القاضي, دراسة الجدوى الاقتصادية لإنتاج التين الشوكي في الاراضي الصحراوية(دراسة حالة في محافظة مطروح) مجلة الاقتصاد الزراعي والعلوم الاجتماعية, المجلد 13, (2): 42-2022, ص48.

10- سمر محمود عبد العظيم القاضي, نفس المصدر, ص48. 11- سمر محمود عبد العظيم القاضي, نفس المصدر, ص48-49.

Climatic susceptibility to wind erosion in the Muthanna Badia and ways to reduce it using the Vegetation Variation Index (NDVI) (Study in prickly pear cultivation)

Osama Faleh Abdul Hassan Al Maktoob Sarhan Naim Al-Khafaji

College of Education for Human Sciences/University of Al-Muthanna

Abstract:

The Al-Muthanna desert is located astronomically between latitudes 29° 4' 9.75" -31° 23' 51.99" north, and longitudes 43° 48' 51.22" -46° 40' 20.47" east, within the administrative borders of the Muthanna Governorate, and it is bordered by the province of Basra and Daulat Kuwait to the east, and Najaf governorate to the west, while the sedimentary plain represents its northern borders, as the Abu Gir fault represents a tectonic separator with the sedimentary plain. Sections, the first of which dealt with the topic of erosion, and the second topic dealt with one of the digital indicators (NDVI), while the last

المصادر:

1-جمهورية العراق ، وزارة النقل والمواصلات، الهيأة العامة للأنواء الجوية والرصد الزلزالي ، قسم المناخ ، بغداد ، بيانات غير منشورة 2021.

103 عبران ، تحليل جغرافي لخصائص ومشاكل ترب محمد قهرمان ، تحليل جغرافي لخصائص ومشاكل ترب محافظة أربيل وقابلية أراضها الإنتاجية، أطروحة دكتوراه (غير منشورة) ، كلية الآداب ، جامعة صلاح الدين ، 2004 ، ص3-Hudson Fall , 2005 , Soil Erosion Modeling Using The Revised Universal soil Loss Equation (RUSLE) . In A drainage Basin In Eastern Mexico Environmental GIS : GRG 360 G. P. 3 .

4-زينب وناس خضير الحسناوي, تأثير التعرية الريحية وثباتية التربة على توسع ظاهرة التصحر وتشكل الكثبان الرملية في محافظة النجف, كلية التربية, جامعة بغداد, ابن رشد, المجلد / 10, العدد 39, السنة العاشرة, 2014, ص 315-316.

5- VICENTE-SERRANO, S.; CUADRAT-PRATS, J. M.; ROMO, A. Early prediction of crop productivity using drought indices at different time scales and remote sensing data: application in the Ebro valley (north east Spain). International Journal of Remote Sensing, 27, 2006, 511–518.

6- MARTINY, N.; CAMBERLIN, P.; RICHARD, Y.; PHILIPPON, N. Compared regimes of NDVI and rainfall in semiarid regions of Africa. International Journal of Remote Sensing, 27,2006, 5201–5223.

7-ابتهال تقي حسن الخاقاني , استخدام الادلة 7-ابتهال تقي حسن الخاقاني , استخدام الادلة (NDWI),(NDVI),(NDBI) , لكشف التغيرات في غطاء الارض لمناطق مختارة من محافظة النجف للحقبة بين (2004-2006) باستخدام بينات الاستشعار عن بعد , مجلة الكوفة للفيزياء , المجلد6,العدد2,2014, ص14.

topic dealt with the role of sustainable development (prickly agricultural pear cultivation) in reducing the effects of wind erosion, and the study concluded importance of modern technologies (GIS). and (RS) in monitoring drought and the role of climatic elements in varying the expansion and decline of vegetation cover. By analyzing the results of the inertial capacity of the (Chepil) equation, the researcher concluded that the study area is characterized by a very high water capacity, due to the dryness of the soil and the nature of the desert climate. Desert climatic conditions as well as its role in soil stabilization on the one hand and its economic return

Keywords: erosion, NDVI, wind erosion, sustainable agricultural development